

УДК 539.4.013.3

# КОНЦЕНТРАЦИЯ НАПРЯЖЕНИЙ В ПРЕССОВЫХ СОЕДИНЕНИЯХ ДЕТАЛЕЙ

**В.Б. Буланов, И.Е. Семенов-Ежов, А.А. Ширшов**

Приведен краткий обзор экспериментальных и теоретических работ о концентрации напряжений в прессовых соединениях. Выполнен анализ работ, в которых решены задачи о запрессовке шайб, дисков и штифтов в пластины различного очертания, из материалов с одинаковыми и различными упругими свойствами с учетом и без учета шероховатости поверхностей. Также рассмотрены задачи о влиянии внешней нагрузки на концентрацию напряжений в болтовом соединении с радиальным натягом.

**Ключевые слова:** концентрация напряжений, коэффициент концентрации, натяг, прессовое соединение, контактное давление.

## Введение

Обеспечение прочности и надежности конструкций при рациональном использовании материалов является одной из важнейших проблем машиностроения. Для выполнения условий прочности различных деталей машин конструктор должен иметь исчерпывающую информацию об ожидаемом поведении материала и конструкции в реальных условиях эксплуатации. Важной информацией являются данные о концентрации напряжений, формирующие расчетные максимальные напряжения в опасных сечениях деталей машин. Публикация новых справочных данных по концентрации напряжений позволит более широко использовать их для оценки прочности и обеспечения надежности как при создании новых, так и при модернизации действующих машин.

Накопленный к середине прошлого века материал по концентрации напряжений в деталях машин был обобщен в фундаментальных работах Савина Г.Н. [1] и Петерсона Р. [2]. В последующие годы было опубликовано много исследований о концентрации напряжений, полученных как экспериментальным, так и расчетным путем. В различной справочной литературе приведены данные о коэффициентах концентрации напряжений, например [3-6].

Цель работы заключается в составлении краткого обзора и систематизации сведений о концентрации напряжений в прессовых соединениях деталей различного назначения.

## Соединения деталей с натягом

На практике при расчете соединений с натягом в первом приближении применяются зависимости, основанные на решении Ламе [4]. Эксперименты показывают, что при одинаковой длине сопрягаемых деталей на торцах соединения наблюдается некоторое снижение контактных напряжений по сравнению с расчетными. Если длина охватывающей детали (втулки, шестерни) меньше длины вала, то на торцах детали возникает концентрация напряжений [6].

Для оценки эффекта концентрации напряжений используют, как правило, теоретический коэффициент концентрации напряжений (ККН)

$$\alpha_{\sigma} = \frac{\sigma_{e, \max}}{\sigma_n}, \quad (1)$$

где  $\sigma_{e, \max}$  – максимальное эквивалентное напряжение в зоне концентрации;  $\sigma_n$  – номинальное напряжение.

В прессовых соединениях за номинальное напряжение часто принимают контактное давление  $p_k$ , которое связано с относительным радиальным натягом  $\Delta$  известным выражением [5]

$$p_k = \Delta \cdot E_2 \sqrt{\left[ \frac{E_2}{E_1} \left( \frac{1+\alpha_1^2}{1-\alpha_1^2} - v_1 \right) + \frac{1+\alpha_2^2}{1-\alpha_2^2} + v_2 \right]}, \quad (2)$$

где  $E$  – модуль упругости;  $v$  – коэффициент Пуассона;  $\alpha_1$  и  $\alpha_2$  – отношения внутреннего радиуса детали к наружному; индекс 1 относится к охватываемой детали, а индекс 2 – к охватывающей (пластины).

Для частных случаев прессовых соединений выражение (2) упрощается. Так, при запрессовке сплошного диска в пластину из того же материала ( $E_1 = E_2 = E$ ,  $\alpha_1 = 0$ ,  $\alpha_2 = \alpha$ ,  $v_1 = v_2 = v$ ), получим

$$p_k = \Delta \cdot E \cdot (1 - \alpha^2) / 2, \quad (3)$$

а при запрессовке сплошного металлического диска в пластину с малым отверстием из полимерного материала ( $E_1 \gg E_2$ ,  $\alpha_2 = \alpha < 0,1$ )

$$p_k = \Delta \cdot E_2 / (1 + v_2). \quad (4)$$

Контактное давление согласно (2) зависит от упругих постоянных элементов соединения. Поскольку коэффициент Пуассона мало отличается у различных материалов (сталь  $v \approx 0,25$ , полимеры и алюминиевые сплавы  $v \approx 0,35$ ), на величину  $p_k$  в наибольшей степени влияет отношение модулей упругости  $E_1$  и  $E_2$ . В качестве примера, иллюстрирующего это влияние, на рис. 1 приведены графики зависимости ККН от параметра  $\alpha = a/b$  при постановке с натягом сплошного диска в круглую пластину, построенные по результатам работы [7]. Максимальное эквивалентное напряжение действует в ослабленном сечении (точка  $B$ , рис. 1), а максимальное контактное давление – на продольной оси пластины. За номинальное напряже-

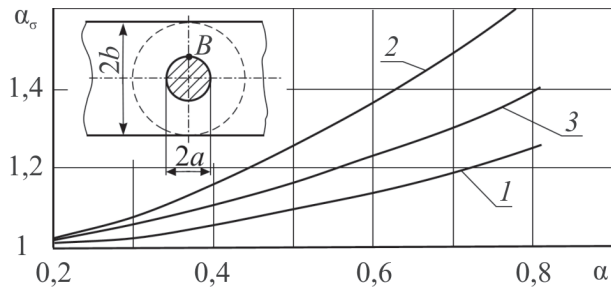


Рис. 1. Влияние жесткости сопрягаемых деталей

на ККН кривая 1 соответствует  $E_1 \gg E_2$ ,  
кривая 2 –  $E_1 = E_2$ , кривая 3 –  $E_2/E_1 = 0,3$

жение принято контактное давление, определяемое по формуле (2). Кривые 1 и 2 являются предельными для соединений, встречающихся в инженерной практике.

В работах [8–10] приведены результаты аналитических решений для некоторых частных случаев прессовых соединений. В работе [8] дано решение для полубесконечной пластины, в которую запрессована круглая шайба. В работе [9] помимо расчета некоторых типов прессовых соединений обсуждаются факторы, влияющие на точность получения аналитических результатов, а именно: свойства материала, технология сборки, характер приложения нагрузки, наличие микронеровностей и др. Частные случаи решения задачи о запрессовке круглых дисков в пластины из одинаковых материалов приведены в [10, 11].

В работе [12] приведено решение задачи о запрессовке сплошного диска в пластину со сложным контуром, описываемым уравнением улитки Паскаля. На рисунке 2 показано распределение относительных напряжений  $\bar{\sigma}_x = \sigma_x/p_k$  и  $\bar{\sigma}_y = \sigma_y/p_k$  в опасном сечении. За номинальное напряжение принято контактное давление  $p_k$ , определяемое выражением (3) при посадке жесткого диска в кольцо ( $\alpha = 0,56$ ).

Решение получено аналитически с использованием теории функций комплексного переменного и конформных преобразований по методу, разработанному Г.В. Колосовым и Н.И. Мусхелишвили. Наиболее опасными ока-

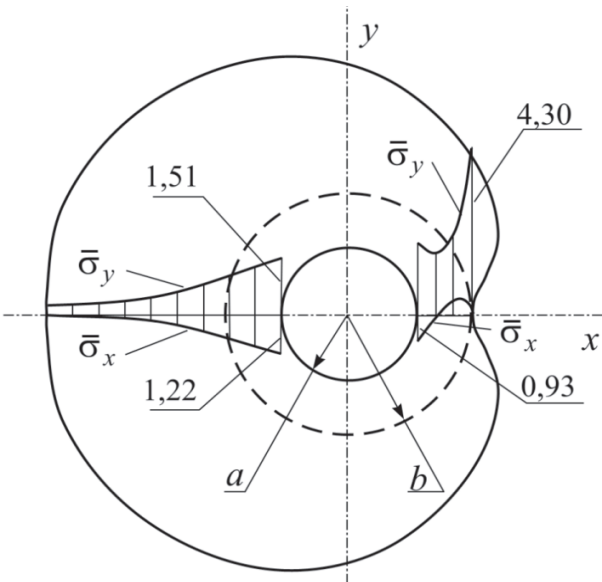


Рис. 2. Распределение относительных напряжений в опасном сечении пластины сложной формы при запрессовке в нее абсолютно жесткого диска

зались точки наружного контура, в которых имеет место одноосное напряженное состояние, и  $\alpha_e = 4,30$ .

Расчету соединений с натягом, элементы которых выполнены из различных материалов, посвящены работы Игнашова И.А. [13–15] и др. Однако данные о концентрации напряжений, приведенные в работах [8–15], являются весьма неполными, в частности, не исследовано влияние геометрических параметров элементов соединений.

При исследовании концентрации напряжений в прессовых соединениях поляризационно-оптическим методом возникают трудности при определении действительного натяга в полимерных моделях. В них помимо факторов, влияющих на точность измерений, отмеченных в [9], следует учитывать также релаксацию напряжений. Методика исключения погрешностей при определении напряжений в прессовом соединении полимерных моделей, возникающих вследствие ползучести, приведена в [16].

В работе [17] приведена nomограмма и дано ее подробное описание для определения максимального окружного напряжения  $\sigma_\phi$ , возникающего в пластинах при запрессовке в них дисков и колец в зависимости от геометрических параметров, модулей упругости и относительного натяга. В [18–20] приведены результаты исследования концентрации напряжений при запрессовке сплошных дисков у края полу平面, в углу прямоугольной пластины, в проушины кронштейнов, а также в кольцевые пластины.

Эпюры относительных эквивалентных напряжений  $\bar{\sigma}_e$ , определенных по критерию наибольших касательных напряжений, на поверхности по дуге контакта в пластине, у края которой запрессован жесткий диск ( $\alpha = a/b = 0,67$ ), показаны на рис. 3 [18].

Контактное давление  $p_k$  вычисляли по формуле (2) при  $E_2/E_1 = 0$  и  $\alpha_2 = 0$ . Максимальное значение эквивалентного напряжения получается в точке  $C$ , контактного давления – в точке  $A$ . На наружном контуре пластины напряженное состояние – одноосное, т.е.  $\bar{\sigma}_e = \bar{\sigma}_x$ . При  $\alpha > 0,6$  эквивалентные напряжения в точке  $M$  становятся больше значения  $\bar{\sigma}_e$  в точке  $C$ . В работе [8] приведено решение для аналогичного соединения, элементы которых выполнены из одинаковых материалов.

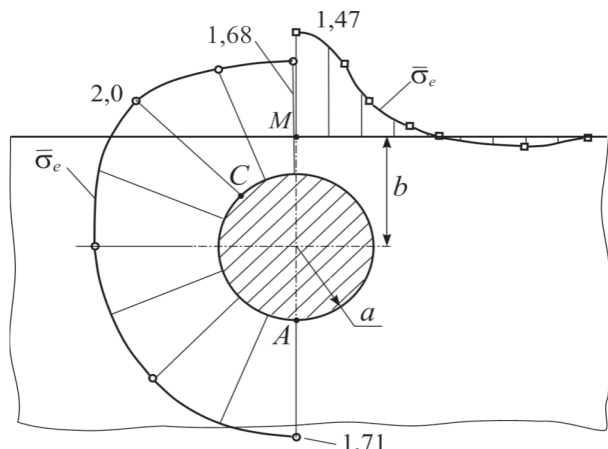


Рис. 3. Распределение относительных эквивалентных напряжений  $\bar{\sigma}_e = \sigma_e / p_k$  на поверхности пластины и по дуге контакта ( $\alpha = 0,67$ )

Результаты экспериментального исследования концентрации напряжений при запрессовке двух дисков в широкую полосу приведены в работах [7, 17].

При исследовании соединений с натягом в трехмерной постановке использовали как теоретические методы – аналитические и численные, в основном с использованием метода конечных элементов (МКЭ), так и экспериментальный метод фотоупругости. В работе [21] на основе уравнений теории упругости решена задача о запрессовке втулки в отверстие корпуса. В [22] рассмотрена посадка жесткого бандажа на вал, а в [23] получены результаты для более общего случая прессового соединения двух толстостенных оболочек с учетом шероховатости поверхностей. В работе приведена эпюра контактного давления, которая позволяет определить коэффициент концентрации напряжений около торцов наружной оболочки при различной длине соединяемых деталей.

Наиболее полно задача о посадке втулки на сплошной вал рассмотрена в [5]. Приведены эпюры контактных давлений и значения ККН для различных форм втулок и их положения на валу. Там же показано влияние фаски на величину максимальных напряжений. Работа [24] посвящена анализу напряженно-деформированного состояния (НДС) при внедрении жесткого диска (дорна) в массивный цилиндр.

Одна из первых методик исследования посадочных напряжений в объемных деталях с применением метода «замораживания» приведена в [25, 26]. Однако в [27] отмечается, что способ горячей посадки неприменим для моде-

лей из эпоксидной смолы. В этой работе указывается на необходимость исследования свойств материала в условиях ползучести. Один из способов, позволяющих устраниить недостаток метода «замораживания», приведен в [28]. Кроме релаксационных процессов, имеющих место в полимерных моделях, при «замораживании» происходит резкое изменение коэффициента Пуассона, что также сказывается на результатах исследования [29].

В работах [24, 30] получены данные о концентрации напряжений в массивном цилиндре при запрессовке в него дисков и болтов с использованием метода оптически чувствительных вклеек, свободного от недостатков, свойственных методу «замораживания». В [24] проведено сравнение полученных экспериментальных данных с результатами расчета методом конечных элементов.

### **Влияние внешней нагрузки на НДС прессового соединения**

При нагружении соединения с радиальным натягом внешней нагрузкой происходит изменение контактного давления вплоть до образования зазоров. Примеры способов приложения внешней нагрузки к соединению показаны на рис. 4.

В работе [31] рассмотрена схема 1 (рис. 4) приложения внешней нагрузки. В ней впервые предложено считать предельной нагрузкой  $F_{\text{пр}}$  в соединении нагрузку, соответствующую началу образования зазора. Величину  $F_{\text{пр}}$  предложено определять по изменению наклона кривой зависимости максимальных эквивалентных напряжений  $\sigma_{e\max}$  на кромке отверстия в зоне контакта от внешней нагрузки. Дальнейшее развитие эта методика получила в работах [32, 33].

На рисунке 5 изображены графики изменения  $\alpha_s$  на поверхности контакта широкой пластины с запрессованным штифтом в зависимости от относительного напряжения  $\bar{\sigma} = \sigma / p_k$ , являющегося внешней нагрузкой, для пяти вариантов. Эквивалентное напряжение определено по критерию максимальных касательных напряжений; за номинальное напряжение принято эквивалентное напряжение в пластине, возникающее только при действии натяга. В этом случае для широкой полосы принято  $\sigma_{en} = 2p_k$ , где  $p_k$  определяется по формуле (4). Номера около кривых соответствуют схемам приложе-

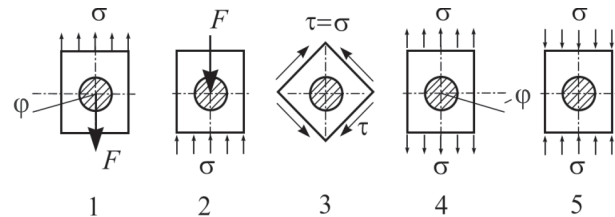
ния внешней нагрузки, изображенным на рис. 4. Как принято в работах [32, 33], соединения, соответствующие схемам нагружения 1 и 2 называют «высокоудигоными» (сила приложена к штифту), а соответствующие схемам нагружения 4 и 5 – «низкоудигоными» соединениями (нагрузка приложена к пластине).

В [31] впервые отмечено влияние трения на контактной поверхности на точность определения  $F_{\text{пр}}$ .

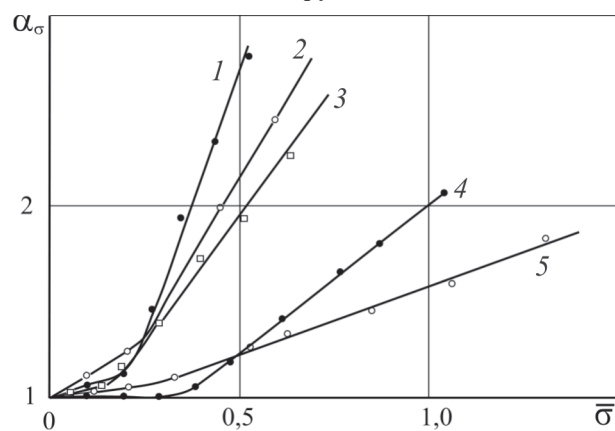
Сравнение кривых 1, 2, 3 с кривой 4 показывает, что предельная нагрузка (для низкоудигоового соединения, работающего на растяжение, примерно в два раза выше таковой для высокоудигоовых соединений, а также при «чистом сдвиге». В низкоудигоовом соединении, работающем на сжатие (кривая 5), предельная нагрузка не была достигнута.

Предельная нагрузка в низкоудигоовом однорядном и двухрядном болтовых соединениях оказалась практически равной значению  $F_{\text{пр}}$  для пластины с одиночным отверстием [32].

Результаты исследования концентрации напряжений в узкой ступице плоского двуплечего рычага при поперечном изгибе поляриза-



**Рис. 4. Варианты нагружения модели соединения с радиальным натягом при определении предельной нагрузки**



**Рис. 5. Схема определения предельной нагрузки при пяти вариантах нагружения пластины с запрессованным в нее штифтом:** кривые 1, 2 соответствуют высокоудигоовым соединениям, 4, 5 – низкоудигоым, 3 – соответствует условиям нагружения «чистый сдвиг»

ционно-оптическим методом приведены в [34], численно МКЭ – в [35].

### **Заключение**

Приведенные в кратком обзоре работы являются дополнением к классическим обзорам опубликованным ранее. Повышению их достоверности и практической ценности способствовало во многих случаях использование различных методов исследования – аналитических, численных и экспериментальных.

### **Список литературы**

1. Савин Г.Н., Тульчий В.Н. Справочник по концентрации напряжений. – Киев: Вища школа. 1976. – 410 с.
2. Петерсон Р. Коэффициенты концентрации напряжений. – М.: Мир. 1977. – 302 с.
3. Кагаев В.П., Махутов Н.А., Гусенков А.П. Расчеты деталей машин и конструкций на прочность и долговечность. Справочник. – М.: Машиностроение. 1985. – 224 с.
4. Иосилевич Г.Б. Концентрация напряжений и деформаций в деталях машин. – М.: Машиностроение. 1981. – 223 с.
5. Иосилевич Г.Б. Детали машин. – М.: Машиностроение. 1988. – 367 с.
6. Биргер И.А., Шорр Б.Ф., Иосилевич Г.Б. Расчет на прочность деталей машин. Справочник. – М.: Машиностроение. 1993. – 640 с.
7. Stresses due to interference-fit Pins and bushes in plats, strips or lungs // Engineering Sciences Data Unit. 1971. 8 p.
8. Тарабасов Н.Д. Расчет напряженных посадок в машиностроении. – М.: Машгиз, 1961. – 364 с.
9. Тарабасов Н.Д. Новый прием решения задач прессовых соединений // Расчеты на прочность. 1969. Вып. 14. С. 63–75.
10. Антипин П.К. Определение напряжений от посадки круглых дисков в пластину с криволинейным контуром // Расчеты на прочность и жесткость устойчивость и колебания. 1965. С. 43–47.
11. Крюкова Н.М. Об одной плоской задаче теории упругости для изотропной кусочно-однородной среды // Изв. АН СССР. Механика твердого тела. 1966. № 5. С. 43–51.
12. Угодчиков А.Г. О расчете посадочных напряжений в некоторых типах прессовых соединений // Труды Горьковского инж.-строит. института. Вып. 25. 1956. С. 28–43.
13. Игнашов И.А. Напряженное состояние квадратной пластины с запрессованной круглой шайбой из другого материала // Изв. вузов. Машиностроение. 1969. № 9. С. 49–53.
14. Игнашов И.А. Напряженное состояние пластинки, ограниченной кривой частного вида, с несколькими запрессованными в нее круглыми шайбами из другого материала // Изв. АН СССР. Механика твердого тела. 1971. № 1. С. 86–89.
15. Игнашов И.А. Напряженное состояние в круглой пластинке с несколькими запрессованными в нее круглыми шайбами из другого материала // Упругость и неупругость. Сб. трудов МГУ. Вып. 2. 1971. С. 74–82.
16. Семенов-Ежсов И.Е. Моделирование контактных напряжений в прессовых соединениях // Изв. вузов. Машиностроение. 1979. № 5. С. 20–24.
17. Семенов-Ежсов И.Е. Концентрация напряжений в соединениях с натягом // Справочник. Инженерный журнал. 2000. № 4. С. 21–25.
18. Семенов-Ежсов И.Е. Контактные напряжения в пластинах при запрессовке в них сплошных дисков // Изв. вузов. Машиностроение. 1980. № 1. С. 8–10.
19. Семенов-Ежсов И.Е. Контактные напряжения в прессовых соединениях // Расчеты на прочность. 1981. Вып. 22. С. 65–71.
20. Семенов-Ежсов И.Е., Саков В.А., Старшинин В.И. Контактные напряжения в дисках с отверстиями при запрессовке в них круглых шайб // Изв. вузов. Машиностроение. 1988. № 11. С. 3–5.
21. Старшинин В.И., Сухова Н.А. Запрессовка втулки в отверстие корпуса // Изв. вузов. Машиностроение. 1976. № 7. С. 9–19.
22. Бабешко В.А., Калиничук В.В. О взаимодействии жесткого бандажа с упругим цилиндром // Изв. АН СССР. Механика твердого тела. 1973. № 3. С. 165–167.
23. Хворостухин Л.А., Шишкин С.В. Об осесимметричном контакте двух толстостенных оболочек с учетом шероховатости посадочных поверхностей // Изв. вузов. Машиностроение. 1980. № 2. С. 5–11.
24. Семенов-Ежсов И.Е., Старшинин В.И. Напряженно деформированное состояние упругого цилиндра при посадке в него с натягом жесткого диска // Расчеты на прочность. 1986. Вып. 27. С. 52–56.
25. Сурков А.И., Монахов-Ильин Г.П. Исследование напряжений в деталях, соединенных посадкой с натягом с применением замораживания // Заводская лаборатория. 1967. № 6. С. 755–756.

26. Сурков А.И., Монахов-Ильин Г.П. Моделирование деталей, соединенных посадкой с натягом // Труды ВНИИМетмаша. 1972. № 31. С. 120–123.
27. Mather J., Baines B.H. A three dimensional investigation of shrink fit stress distribution // Strain. 1970. No 3. P. 105–108.
28. Семенов-Ежов И.Е., Ширшов А.А. Неуставновившаяся ползучесть в диске из вязкоупругого материала // Изв. вузов. Машиностроение. 1974. № 6. С. 28–31.
29. Семенов-Ежов И.Е., Старшинин В.И. О применении различных расчетных и экспериментальных методик к решению осесимметричной задачи теории упругости материала // Изв. вузов. Машиностроение. 1971. № 1. С. 13–16.
30. Дунаев В.В. Семенов-Ежов И.Е., Ширшов А.А. Экспериментальное исследование концентрации напряжений при постановке болтов с натягом // Расчеты на прочность. 1983. Вып. 23. С. 122–126.
31. Сухарев И.П. Прочность шарнирных узлов машин. – М.: Машиностроение. 1977. – 168 с.
32. Ушаков Б.Н., Дашибабанов В.Д. Дунаев В.В. Исследование поляризационно-оптическим методом напряжений в болтовых соединениях с натягом // Изв. вузов. Машиностроение. 1983. № 3. С. 14–18.
33. Дашибабанов В.Д., Степанов Н.А., Сухарев И.П., Ушаков Б.Н. Напряженное состояние в болтовых соединениях с натягом при сдвиговых нагрузках // Изв. вузов. Машиностроение. 1984. № 9. С. 30–34.
34. Семенов-Ежов И.Е., Степанов Н.А., Сухарев И.П. Напряженно деформированное состояние ступицы двуплечего рычага // Изв. вузов. Машиностроение. 1990. № 3. С. 26–31.
35. Буланов В.Б., Семенов-Ежов И.Е., Ширшов А.А. Концентрация напряжений в симметричном двуплечем рычаге при поперечном изгибе // Вестник машиностроения. 2013. № 9. С. 18–21.

*Материал поступил в редакцию 05.11.13*

**БУЛАНОВ**

**Владимир Борисович**

E-mail: bulanov1937@mail.ru  
Тел.: (926) 071-99-52

Кандидат технических наук, доцент кафедры «Прикладная механика» МГТУ им. Н.Э. Баумана. Сфера научных интересов: статические задачи теории упругости, экспериментальные методы. Автор более 40 научных статей.

**СЕМЕНОВ-ЕЖОВ**

**Игорь Евгеньевич**

E-mail: semenovezhov@mail.ru  
Тел.: (495) 474-18-92

Кандидат технических наук, доцент кафедры «Прикладная механика» МГТУ им. Н.Э. Баумана. Сфера научных интересов: экспериментальные методы. Автор более 100 научных статей.

**ШИРШОВ**

**Анатолий Артемович**

E-mail: chirchovaa@mail.ru  
Тел.: (495) 686-44-26

Кандидат технических наук, доцент кафедры «Прикладная механика» МГТУ им. Н.Э. Баумана. Сфера научных интересов: статические задачи теории упругости, пластичности, ползучести. Автор более 100 научных статей.